

I-33 MTMDによる免震橋の制振に関する基礎的研究

徳島県 正員 ○伊沢 祐一 徳島大学大学院 正員 成行 義文  
 徳島大学工学部 フェロー 平尾 潔 徳島大学大学院 学生員 後藤 弘成  
 建設技術研究所 正員 数見 真生

**1. はじめに** 本研究では、MTMD (Multiple Tuned Mass Dampers) による免震橋の制振効果に関する基礎的なデータを得ることを目的として、TMDの個数、それらの周期、ならびに質量比等を変化させて地震応答解析を行った。それらの解析結果をMTMD非設置の免震橋の解析結果と比較することにより、MTMDの制振効果について若干の検討を行った。

**2. 解析モデルと入力地震動**

(1) **解析モデル** 本研究では、MTMDを備えた免震橋を図-1に示すようにモデル化した。橋脚はRC橋脚を想定しているが、その復元力履歴特性は初期弾性剛性を有する線形とした。また、免震支承の復元力履歴特性は、等価剛性を有する線形とした。

(2) **入力地震動** 入力地震動としては、1995年の兵庫県南部地震における神戸海洋気象台で得られた記録(神戸記録)と、1940年の米国カリフォルニア州に震源をもつマグニチュード6.7の地震のEl Centroで得られた記録(El Centro記録)の2種類の地震動記録を用いる。

**3. 構造特性値** 免震橋の構造特性値は、道路橋免震設計マニュアル(案)<sup>1)</sup>に示されている設計例を基に、表-1のように算出した。また、各TMDの質量 $m_b$ は式(1)、剛性 $k_b$ は式(2)より算出する。これらの式中、 $n$ : TMDの個数、 $M$ : 免震橋のみの総質量、 $\mu = m_b/M$ 、 $T_j$ : 各TMDの固有周期を表している。なお、TMDの固有周期 $T$ の決定には阿部ら<sup>2)3)</sup>の方法を用いた。TMDの個数 $n$ は奇数とし、各TMDの周期は図-2に示すように、周期軸上で中心となるTMDの周期を決め、その両側にそれぞれ等間隔に他のTMDの周期を決定する。すなわち、式(3)より算出した中心のTMDの固有周期 $T_0$ と両端のTMDの固有周期間隔を決めるパラメータとなるバンド幅 $B$ を式(4)に代入し、隣り合うTMDの固有周期の間隔を決めるパラメータ $\beta$ を算出する。これらの値を式(5)に代入すれば各TMDの固有周期 $T_j$ が求まる。なお、バンド幅 $B$ は限界バンド幅 $B_c$ (式(6))を基準に決める。限界バンド幅とは、バンド幅の下限値の目安になる値のことである。

**4. 制振効率** 本研究では、制振効果を表す指標として、式(7)のような制振効率 $C_e$ を用いる。式(7)中、 $x_{d \max}$ は制振装置設置時の最大応答変位、また、 $x_{\max}$ は制振装置非設置時の最大応答変位である。この指標は、1.0を越えることがなく、値が大きいほどMTMDによる制振効果が高いことを表す。また、 $C_e < 0$ となると、MTMDの設置が逆効果になることを意味する。

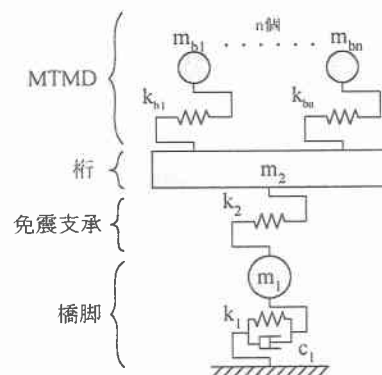


図-1 MTMDを備えた免震橋

表-1 免震橋の構造特性値

橋脚の質量 $m_1$	202.51 kg
橋脚の剛性 $k_1$	880000 kgf/cm
上部構造の質量 $m_2$	736.1 kg
支承の剛性 $k_2$	14496 kgf/cm
1次の固有周期 $T_s$	1.4275 sec
1次の減衰定数 $h$	0.02

$$m_b = \frac{\mu \cdot M}{n} \quad (1)$$

$$k_b = \frac{4\pi^2}{T_j^2} \cdot m_b \quad (2)$$

$$\left. \begin{aligned} T_0 &= \frac{T_s}{\sqrt{(1+\mu)}} \\ j &= -m \sim m \end{aligned} \right\} \quad (3)$$

$$\left. \begin{aligned} \beta &= \frac{B}{n-1} = \frac{B}{2 \cdot m} \\ m &= (n-1)/2 \end{aligned} \right\} \quad (4)$$

$$T_j = T_0 \cdot (1 + j \cdot \beta) \quad (5)$$

$$B_c = \frac{1}{4} \cdot \sqrt{8 \times \mu \times (0.57721 + \log(n))} \quad (6)$$

$$C_e = 1 - \frac{x_{d \max}}{x_{\max}} \quad (7)$$

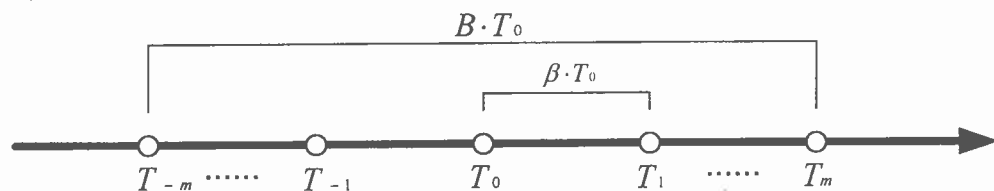


図-2 各TMDの周期

## 5. 各パラメータと制振効率との関係

時刻歴応答解析の結果、各パラメータと制振効率  $C_e$  の関係は図-3(a)～(c)、図-4(a)～(c)のようになった。図-3(a)～(c)は入力地震動が El Centro 記録で、質量比  $\mu$  がそれぞれ 0.01, 0.05, 0.1 の場合である。図-4(a)～(c)は入力地震動が神戸記録で、質量比  $\mu$  がそれぞれ 0.01, 0.05, 0.1 の場合である。

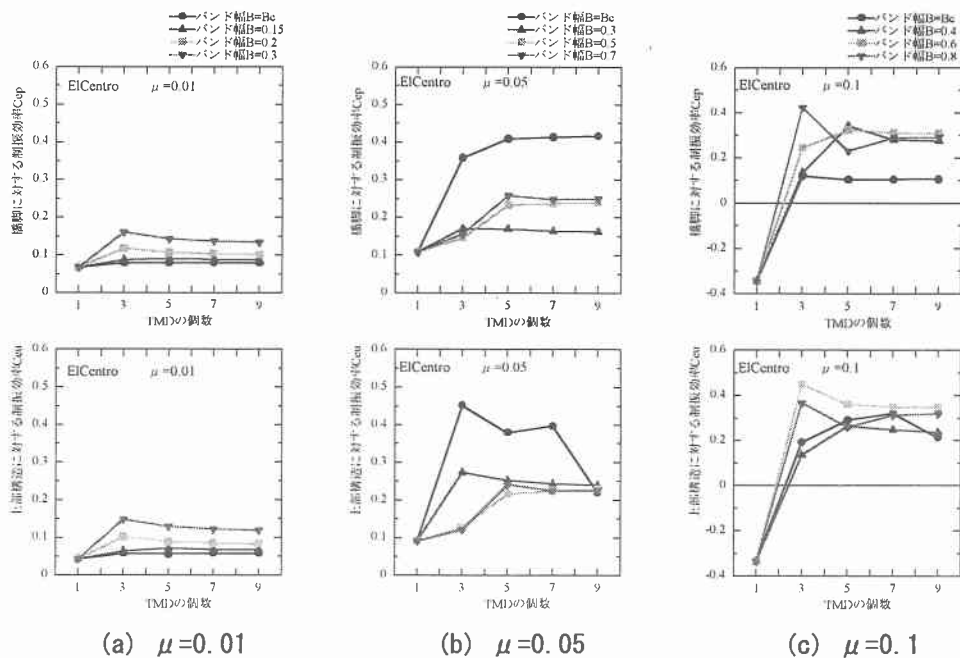


図-3 El Centro記録における各パラメータと制振効率の関係

まず、地震動が El Centro 記録の時は、図-3(a)ではバンド幅が大きいくほど制振効率が高くなっているが、 $\mu$  が比較的大きい場合 (図-3(b), 図-3(c)) には必ずしもそうはなっていない。また、橋脚と上部構造で制振効果の変化に違いが出ている箇所もある。これらの図より、単一の TMD よりも、複数個の TMD の方が制振効率が高いことがわかる。

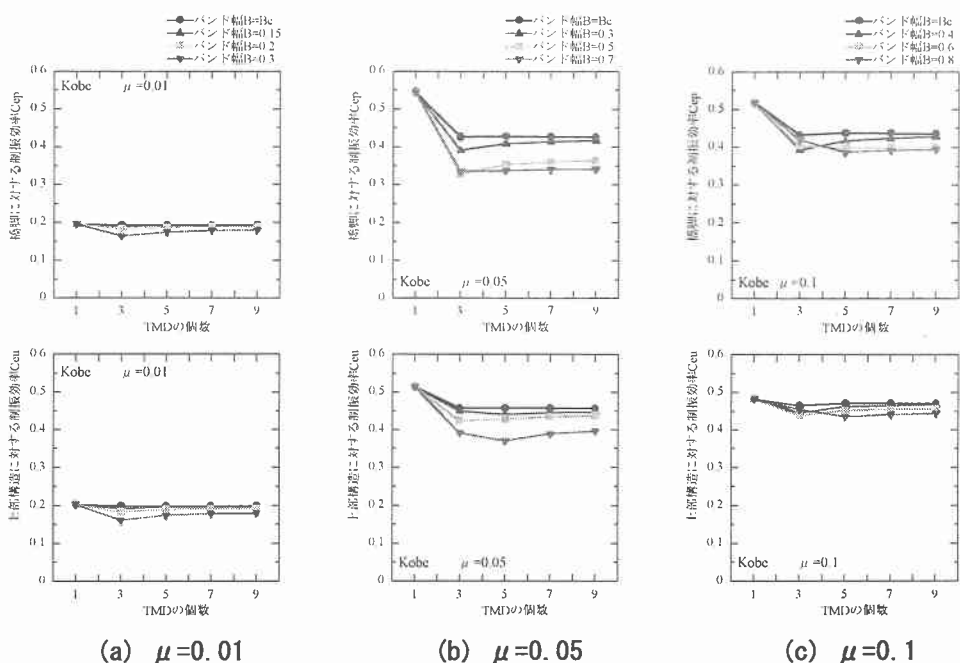


図-4 神戸記録における各パラメータと制振効率の関係

次に、地震動が神戸記録の場合には、図-4(a)～(c)から、バンド幅が限界バンド幅の時に、最も制振効率が高くなっているのがわかる。また、El Centro 記録に対する場合と違い、単一の TMD が最も高い制振効果を発揮している。

6. おわりに 本研究より、次の3つの結論が得られた。①MTMDの各パラメータを適正に設定すれば、免震橋に対して制振効果がある。②TMDの個数や周期等、ならびに入力地震動特性がMTMDの制振効果に及ぼす影響は大きい。

7. 参考文献 1) (財)国土開発技術研究センター：道路橋の免震設計法ガイドライン(案)，平成元年3月，2)阿部雅人・藤野陽三：マルチプル同調質量ダンパー(MTMD)の基本的特性，土木学会論文集，No.465/I-23,pp.87～pp.96，平成5年4月，3)阿部雅人・藤野陽三：マルチプル同調質量ダンパー(MTMD)の性能評価式，土木学会論文集，No.465/I-23,pp.97～pp.106，平成5年4月